

УДК 539.374

© 2001 г. А.Г. ГОРШКОВ, Э.И. СТАРОВОЙТОВ, А.В. ЯРОВАЯ

ЦИКЛИЧЕСКИЕ НАГРУЖЕНИЯ УПРУГОПЛАСТИЧЕСКИХ ТЕЛ В НЕЙТРОННОМ ПОТОКЕ

Рассмотрено влияние нейтронного облучения на упругопластическое деформирование элементов конструкций при циклическом силовом воздействии. На основе экспериментальных данных предложена формула радиационного упрочнения. Доказан аналог теоремы о переменных нагрузлениях. Приведено численное решение краевой задачи для трехслойного металлокомпозитного стержня.

Радиационное облучение твердых тел сопровождается многочисленными эффектами, в результате которых возникает дополнительная объемная деформация θ_1 , изменяющиеся упругие и особенно пластические характеристики вещества [1]. Это необходимо учитывать в постановках краевых задач теории малых упругопластических деформаций А.А. Ильюшина [2] при однократных и циклических квазистатических нагрузлениях облучаемых элементов конструкций. Основными факторами являются радиационное упрочнение материала (увеличение предела текучести) и радиационное разбухание (увеличение объемной деформации). Ниже основные положения теории переменного нагружения В.В. Москвитина [3] распространены на указанный класс краевых задач.

Рассмотрим начально однородное изотропное тело, занимающее полупространство $z \geq 0$. Если на границу ($z = 0$) параллельно оси z падают нейтроны с одинаковой средней энергией и интенсивностью Φ_0 [нейtron/(m^2 сек)], то интенсивность потока нейронов, доходящих до плоскости $z = \text{const}$, будет [1] $\Phi(z) = \Phi_0 e^{-\mu z}$. Величина μ называется макроскопическим эффективным сечением и имеет порядок $1/m$.

Если Φ_0 не зависит от времени, то к моменту времени t через сечение z пройдет поток

$$I(z) = \Phi_0 t e^{-\mu z} \quad (1)$$

В первом приближении можно считать, что изменение объема вещества прямо пропорционально потоку $I(z)$ и, следовательно, $\theta_I = BI(z)$, где B – опытная константа. Величина $I_0 = \Phi_0 t$ дает суммарный поток нейронов на единицу площади поверхности тела. В реакторах Φ_0 имеет порядок 10^{17} – 10^{18} нейtron/(m^2 сек), а I_0 достигает значений 10^{23} – 10^{27} нейtron/(m^2), причем θ_I достигает значений порядка 0.1. Следовательно, в зависимости от энергии нейронов и облучаемого материала величина B может быть порядка 10^{-28} – 10^{-24} $m^2/\text{нейtron}$.

Зависимость модуля упругости, пределов текучести и прочности и всей диаграммы растяжения от I_0 для различных энергий исследована экспериментально после облучения образцов в атомных реакторах. Опыты свидетельствуют, что, как правило, модуль упругости изменяется слабо (возрастает на 1.5–5% относительно необлученного образца). Что касается пределов прочности и текучести, то они весьма чувствительны в отношении облучения и особенно предел текучести.

Для массивных тел с плоской границей число проходящих на глубине z под этой границей нейтронов за время t определяется формулой (1), поэтому предел текучести будет переменным по толщине z . На поверхности тела ($z = 0$) влияние радиации на предел пластичности σ_T вполне удовлетворительно описывается формулой радиационного упрочнения [4]:

$$\sigma_T = \sigma_{T0}[1 + A(1 - \exp(-\xi I_0))^{\frac{1}{2}}] \quad (2)$$

Здесь σ_{T0} – предел пластичности необлученного материала. На глубине z эта формула принимает вид

$$\sigma_T = \sigma_{T0}[1 + A(1 - \exp(-\xi I))^{\frac{1}{2}}]$$

где величина нейтронного потока $I(z)$ описывается формулой (1). Соответствующие величины деформации обозначим через ε_{T0} , ε_T ; A , ξ – константы материала, получаемые из экспериментов. Например, если для алюминиевого сплава 356 принять $A = 1.09$, $\xi = 9.73 \cdot 10^{-26} \text{ м}^2/\text{нейtron}$, то об удовлетворении известным экспериментальным данным можно судить по фиг. 1. Темные точки – эксперимент, сплошная линия – расчет по формуле (2) (σ_T [МПа]).

Рассмотрим в рамках теории малых упругопластических деформаций А.А. Ильюшина процесс комплексного воздействия на деформируемое тело внешних силовых и радиационных нагрузок. Пусть в начальный момент времени на тело, находящееся в естественном состоянии мгновенно действуют внешние силы F'_i, R'_i при граничном перемещении u'_{i0} и одновременно нейтронный поток величиной $I_0 = \phi t$. Предполагается, что появляются области упругих и пластических деформаций. Изменением модулей упругости за счет нейтронного облучения пренебрегаем. Возникающие в теле напряжения, деформации и перемещения помечаем одним штрихом вверху.

В упругих областях твердого тела справедлив закон Гука и выполняются известные соотношения, связывающие девиаторы тензоров напряжений и деформаций $s'_{ij}, \varepsilon'_{ij}$, а также их шаровые части σ', ε' :

$$s'_{ij} = 2G\varepsilon'_{ij}, \quad \sigma' = K(3\varepsilon' - BI)$$

с поправкой на дополнительное объемное деформирование за счет воздействия нейтронного облучения BI . Здесь через G обозначен модуль сдвига, через K – модуль объемного деформирования.

Для тех областей твердого тела, где появились пластические деформации, связь девиаторов можно в случае простых нагрузений представить в виде

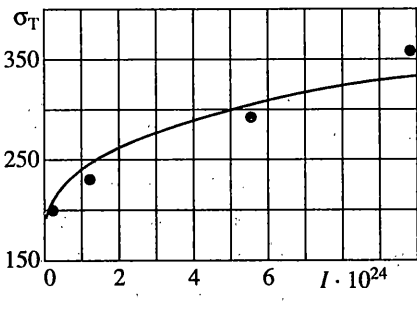
$$s'_{ij} = 2G\varepsilon'_{ij}f'(\varepsilon'_u, I, a'_k)$$

Здесь $f'(\varepsilon'_u, I, a'_k)$ – функция пластичности Ильюшина, зависящая от интенсивности деформаций ε'_u , величины нейтронного потока I и аппроксимационных параметров a'_k . В условиях простого по Ильюшину нагружения эта функция будет универсальной.

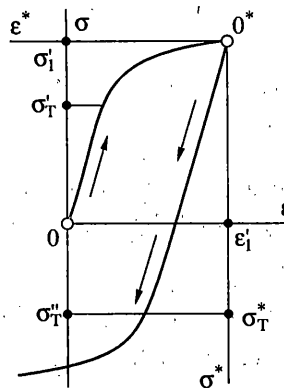
Таким образом, в деформируемом теле связь между напряжениями и деформациями при активном нагружении из естественного состояния и воздействии нейтронного потока в общем случае представима в виде

$$s'_{ij} = 2G\varepsilon'_{ij}f'(\varepsilon'_u, I, a'_k), \quad \sigma' = K(3\varepsilon' - BI) \quad (3)$$

причем функцию пластичности следует положить $f'(\varepsilon'_u, I, a'_k) = 1$ в тех областях, где $\varepsilon'_u \leq \varepsilon'_T$, ε'_T – деформация, соответствующая пределу пластичности в начальный момент времени.



Фиг. 1



Фиг. 2

При достаточно быстром "мгновенном" приложении силовой нагрузки упрочняющее воздействие облучения не успеет сказаться, и возникшие области пластических деформаций будут такими же, как и без воздействия нейтронного потока. Однако если активное нагружение происходит достаточно медленно, то внешние слои тела окажутся со временем упрочненными и в них области пластического деформирования могут оказаться меньше, либо отсутствовать вовсе, по сравнению с необлученным телом. Может возникнуть эффект, когда первые пластические деформации появятся не на внешней упрочненной поверхности, а под ней, где интенсивность деформаций велика, а предел текучести не успел возрасти.

Таким образом, по своему воздействию на упругопластические тела радиационное облучение противоположно тепловому, которое уменьшает предел текучести и ведет к увеличению зон пластического деформирования при одинаковых нагрузках.

К соотношениям (3) добавим дифференциальные уравнения равновесия и граничные условия, а также соотношения Коши в предположении малости деформаций

$$\begin{aligned} \sigma'_{ij,j} + \rho F'_i &= 0; \quad \sigma'_{ij} l_j = R'_i \text{ на } S_\sigma, \quad u'_i = u'_{i0} \text{ на } S_u \\ 2\epsilon'_{ij} &= u'_{i,j} + u'_{j,i} \end{aligned} \quad (4)$$

где запятая в нижнем индексе обозначает операцию дифференцирования по следующей за ней координате.

Считаем изменения во времени внешних нагрузок и граничных перемещений происходят таким образом, что соответствующие траектории нагружения не относятся к классу существенно сложных нагружений, а радиационное упрочнение наступает после силового деформирования твердого тела. В дальнейшем предполагаем, что краевая задача (3), (4) решена.

Пусть, начиная со времени $t = t_1$, воздействие нейтронного потока прекращается ($\varphi = 0$), а внешние силы изменяются таким образом, что во всех точках пластически деформируемых областей тела V_p' происходит разгрузка и последующее знакопеременное нагружение объемными F_i'' и поверхностными силами R_i'' (на S_σ) при граничном перемещении u''_{i0} (на S_u). Уровень облучения тела остается постоянным и равным его значению перед разгрузкой $I_1 = \varphi t_1$. Предел plasticности в точках тела зависит от координаты z и становится равным $\sigma''_T(I_1(z))$, т.е. он зависит от величины деформационного и радиационного упрочнения. Схематично процесс показан на фиг. 2.

Обозначим соответствующие напряжения, деформации и перемещения через

$\sigma''_{ij}, \varepsilon''_{ij}, u''_i$. Для них остаются справедливыми соотношения (4):

$$\begin{aligned} \sigma''_{ij,j} + \rho F'_i &= 0; \quad \sigma''_{ij}l_j = R''_i \text{ на } S_\sigma, \quad u''_i = u''_{0i} \text{ на } S_u \\ 2\varepsilon''_{ij} &= u''_{i,j} + u''_{j,i} \end{aligned} \quad (5)$$

Связь напряжений с деформациями запишем следующим образом:

$$s''_{ij} = 2G\varrho_{ij}f''(\varepsilon''_u, \varepsilon'_1, I_1, a''_k), \quad \sigma'' = 3K\varepsilon'' \quad (6)$$

Здесь $f''(\varepsilon''_u, \varepsilon'_1, I_1, a''_k)$ – функция пластичности при повторном знакопеременном нагружении, зависящая: от интенсивности деформаций ε''_u ; предшествующих разгрузке интенсивности деформаций ε'_1 и уровня облучения тела I_1 ; аппроксимационных параметров a''_k , описывающих кривую деформирования второго полуцикла. Причем функцию пластичности f'' следует положить равной единице в тех областях, где не появились новые пластические деформации, т.е. $\varepsilon''_u \leq \varepsilon''_T$ по модулю, ε''_T – деформация, соответствующая пределу пластичности σ''_T при повторном нагружении.

Уравнения (5), (6) определяют краевую задачу для величин с двумя штрихами. Ее сложность заключается в зависимости искомого решения от точки разгрузки ($\varepsilon'_1, \sigma'_1$), так как в каждой частице твердого тела необходимо ставить свою краевую задачу и получать свое решение. Рассмотрим одну возможность избежать этих трудностей.

Для величин перед началом разгрузки сохраним обозначения $\sigma'_{ij}, \varepsilon'_{ij}, u'_i$. Следуя Москвитину [3], введем следующие разности для момента времени $t > t_1$:

$$s^*_{ij} = s'_{ij} - s''_{ij}, \quad \varepsilon''_{ij} = \varepsilon'_{ij} - \varepsilon''_{ij} \quad (7)$$

Запишем физические уравнения состояния для величин со звездочками. В зонах V'_e и V''_e разгрузки и упругого деформирования справедливы соотношения

$$s^*_{ij} = 2G\varrho_{ij}^*, \quad \varepsilon''_u \leq \varepsilon_T^*(I_1)$$

В области V''_p , где в процессе переменного нагружения происходит изменение пластических деформаций, должны быть справедливыми зависимости

$$s^*_{ij} = 2G\varrho_{ij}^*f^*(\varepsilon''_u, \varepsilon'_1, I_1, a''_k) \quad (8)$$

Здесь $f^*(\varepsilon''_u, \varepsilon'_1, I_1, a''_k)$, вообще говоря, некоторая новая универсальная функция, описывающая нелинейность диаграммы деформирования в осях $\sigma^* \sim \varepsilon^*$ (см. фиг. 2). На линейном участке следует $f^* = 0$.

Во всех точках тела объемная деформация сохраняется упругой. Следовательно, перед началом разгрузки и для текущего состояния выполняются равенства

$$\sigma' = K(3\varepsilon' - BI_1), \quad \sigma'' = K(3\varepsilon'' - BI)$$

поэтому и для величин со звездочками

$$\sigma^* = 3K\varepsilon^* \quad (9)$$

Уравнения равновесия, граничные условия и соотношения Коши для величин $\sigma^*_{ij}, \varepsilon^*_{ij}, u^*_i$ будут

$$\begin{aligned} \sigma^*_{ij,j} + \rho F_i^* &= 0, \quad F_i^* = F'_i - F''_i; \quad \sigma^*_{ij}l_j = R_i^*, \quad R_i^* = R'_i - R''_i \text{ на } S_\sigma \\ u^*_i &= u^*_{0i} = u'_{0i} - u''_{0i} \text{ на } S_u; \quad 2\varepsilon^*_{ij} = u^*_{i,j} + u^*_{j,i} \end{aligned} \quad (10)$$

Соотношения (8) – (10) образуют новую краевую задачу для величин со звездочками

ми. Если теперь предположить, что функцию f^* в любой точке кривой деформирования можно приблизить функцией f' , т.е. описать таким же аналитическим выражением только с другими параметрами a_k^* , то f^* не будет зависеть от $\varepsilon'_1 : f^* = f'(\varepsilon_u^*, I_1, a_k^*)$.

Сравнивая после этого соотношения (3), (4) для тела при нагружении из естественного состояния и соотношения для величин со звездочками (8)–(10) отмечаем, что они совпадают с точностью до обозначений. Поэтому, решение задачи для величин со звездочками можно получить из известного решения задачи, соответствующей нагрузению из естественного состояния, путем некоторых замен. Например, если известно перемещение $u'_i = u'_i(x, \varepsilon'_u, \varepsilon'_T, I, a'_k)$, то соответствующее перемещение со звездочкой будет $u_i^* = u'_i(x, \varepsilon_u^*, \varepsilon_T^*, I, a_k^*)$, а искомое перемещение при повторном знакопеременном нагружении определяется из соотношения (7) $u_i'' = u'_i - u_i^*$. Напряжения и деформации вычисляются по формулам такого же типа.

Полученный результат можно распространить на случай любого n -го циклического нагружения (*теорема о циклических нагрузлениях упругопластических тел в нейтронном потоке*). Пусть при n -ом нагружении внешними силами F_i^n, R_i^n при граничных перемещениях u_{0i}^n возникают напряжения σ_{ij}^n , деформации ε_{ij}^n и перемещения u_i^n . При этом должны удовлетворяться уравнения равновесия, граничные условия и соотношения Коши:

$$\sigma_{ij,j}^n + p F_i^n = 0; \quad \sigma_{ij,l_j}^n = R_i^n \text{ на } S_\sigma, \quad u_i^n = u_{0i}^n \text{ на } S_u; \quad 2\varepsilon_{ij}^n = u_{i,j}^n + u_{j,i}^n \quad (11)$$

Введем следующие разности:

$$\sigma_{ij}^{*n} = (-1)^n (\sigma_{ij}^{n-1} - \sigma_{ij}^n), \quad \varepsilon_{ij}^{*n} = (-1)^n (\varepsilon_{ij}^{n-1} - \varepsilon_{ij}^n), \quad u_i^{*n} = (-1)^n (u_i^{n-1} - u_i^n)$$

Тогда оказываются справедливыми и соотношения типа (11) для величин со звездочками

$$\begin{aligned} \sigma_{ij,j}^{*n} + p F_i^{*n} &= 0, \quad F_i^{*n} = (-1)^n (F_i^{n-1} - F_i^n) \\ \sigma_{ij,l_j}^{*n} &= R_i^{*n} \text{ на } S_\sigma, \quad u_i^{*n} = u_{0i}^{*n} \text{ на } S_u \\ R_i^{*n} &= (-1)^n (R_i^{n-1} - R_i^n), \quad u_{0i}^{*n} = (-1)^n (u_{0i}^{n-1} - u_{0i}^n), \quad 2\varepsilon_{ij}^{*n} = u_{i,j}^{*n} + u_{j,i}^{*n} \end{aligned} \quad (12)$$

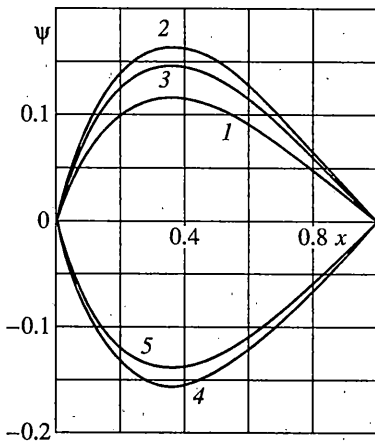
Примем, что при любом n -ом нагружении связь между шаровыми составляющими тензоров напряжений и деформаций остается упругой. Повторяя предыдущее предположение о возможности описания кривых $s_{ij}' \sim \varepsilon_{ij}'$ и $s_{ij}^{*n} \sim \varepsilon_{ij}^{*n}$ функциями нелинейности одинакового аналитического вида

$$s_{ij}^{*n} = 2G \varepsilon_{ij}^{*n} f'(\varepsilon_u^{*n}, I_1, a_k^{*n}) \quad (13)$$

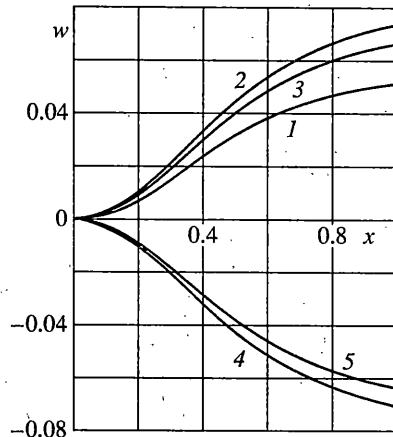
заключаем, что решение задачи для величин со звездочками (12), (13) при любом n -ом нагружении можно получить из решения задачи, соответствующей нагрузению из естественного состояния. Например, если известно перемещение $u'_i = u'_i(x, \varepsilon_u^{*n}, \varepsilon_T^{*n}, I_1, a_k^{*n})$, то соответствующая величина со звездочкой будет $u_i^{*n} = u'_i(x, \varepsilon_u^{*n}, \varepsilon_T^{*n}, I_1, a_k^{*n})$. После этого искомое перемещение u_i^n находится из соотношения

$$u_i^n = u'_i - \sum_{k=2}^n (-1)^k u_i^{*k} \quad (14)$$

Напряжения и деформации вычисляются по формулам типа (14).



Фиг. 3



Фиг. 4

В качестве примера решена задача о циклическом радиационно-силовом изгибе трехслойного стержня, один конец которого заделан. Рассмотрен несимметричный по толщине трехслойный стержень, наружные несущие слои которого выполнены из металла, а несжимаемый по толщине жесткий внутренний слой (заполнитель) – полимер. Для описания кинематики пакета приняты гипотезы ломаной нормали: в несущих слоях справедливы гипотезы Кирхгофа, в заполнителе нормаль остается прямолинейной, не изменяет своей длины, но поворачивается на некоторый дополнительный угол $\Psi(x)$. Несущие слои приняты упругопластическими, заполнитель – упругий. Аналитическое решение соответствующей задачи теории упругости приведено в [5]. Решение задачи теории малых упругопластических деформаций при нагружении из естественного состояния получено методом упругих решений Ильюшина [2]. При численном исследовании повторного знакопеременного нагружения применялась доказанная выше теорема о циклических нагрузлениях упругопластических тел в нейтронном потоке. В качестве материала несущих слоев рассматривался алюминиевый сплав, заполнитель – фторопласт. Соответствующие механические характеристики материалов приведены в [4]. На фиг. 3, 4 показаны сдвиг Ψ и прогиб w трехслойного стержня, рассчитанные по различным физическим уравнениям состояния. Кривые 1–3 соответствуют нагрузению из естественного состояния, 4, 5 – повторный циклический изгиб знакопеременной нагрузкой: 1 – решение упругой задачи; 2 – мгновенная упругопластичность без радиации; 3 – упругопластический изгиб предварительно облученного стержня ($I_1 = 5 \cdot 10^{24} \text{ м}^{-2}$).

При совместном воздействии силовой нагрузки и нейтронного потока в течение времени t_1 до значения I_1 деформирование пойдет по кривой 2. Последующая мгновенная разгрузка и силовое знакопеременное воздействие при уровне радиации I_1 вызовет в стержне сдвиг и прогиб, показанные кривыми 4. Если бы циклической нагрузке подвергался предварительно облученный стержень, то деформирование прошло бы по кривой 5.

Таким образом, предложенный аналог теоремы о циклических нагрузлениях Москвитина, позволяет существенно упростить решение целого класса краевых задач для упругопластических тел в нейтронном потоке. Однако следует еще раз указать ограничения на его применение: максимальный уровень нейтронного облучения не должен вызывать разрыхление вещества, на каждом полуцикле должны выполняться условия простого нагружения и деформации должны быть малыми.

Работа выполнена при финансовой поддержке Фондов фундаментальных исследований РФ (проект 00-01-81198) и РБ (проект Ф99Р-045).

СПИСОК ЛИТЕРАТУРЫ

1. Ильюшин А.А., Огibalов П.М. Упругопластические деформации полых цилиндров. М.: Изд-во МГУ, 1960. 224 с.
2. Ильюшин А.А. Пластичность. Основы общей математической теории. М.: Изд-во АН СССР, 1963. 272 с.
3. Москвитин В.В. Циклические нагрузжения элементов конструкций. М.: Наука, 1981. 344 с.
4. Старовойтov Э.И. Основы теории упругости, пластичности и вязкоупругости. Гомель: БелГУТ, 2000. 342 с.
5. Старовойтov Э.И., Яровая А.В. Вязкоупругопластический стержень при термосиловых нагрузках // Изв. РАН. МТТ: 1998. № 3. С. 109–116.

Москва, Гомель

Поступила в редакцию
20.09.2000